

ТРАНСПОРТНЫЕ ОСОБЕННОСТИ СЛОЕВ InMnAs, ПОЛУЧЕННЫХ ОСАЖДЕНИЕМ ИЗ ЛАЗЕРНОЙ ПЛАЗМЫ, В СИЛЬНЫХ МАГНИТНЫХ ПОЛЯХ

B. B. Рыльков^{a,b,c}, Б. А. Аронзон^{a,b}, А. С. Лагутин^a, В. В. Подольский^d,*
*В. П. Лесников^d, М. Гойран^{e**}, Ж. Галибер^{e**}, Б. Раук^{e**}, Ж. Леотин^{e**}*

^a Российский научный центр «Курчатовский институт»
123182, Москва, Россия

^b Институт прикладной и теоретической электродинамики Российской академии наук
127412, Москва, Россия

^c Фрязинский филиал Института радиотехники и электроники им. В. А. Котельникова Российской академии наук
141190, Фрязино, Россия

^d Научно-исследовательский физико-технический институт
Нижегородского государственного университета им. Н. И. Лобачевского
603950, Нижний Новгород, Россия

^e Laboratoire National des Champs Magnétiques Pulsés
31400, Toulouse Cedex 4, France

Поступила в редакцию 13 июля 2007 г.,
после переработки 15 июля 2008 г.

Исследованы магнитотранспортные свойства слоев *p*-InMnAs в импульсных магнитных полях до 30 Тл. Слои получены лазерным осаждением с использованием последующего отжига импульсами рубинового лазера. Обнаружено, что сопротивление в условиях аномального эффекта Холла в парамагнитной области температур в сильных полях (более 20 Тл) оказывается выше, чем в ферромагнитной области (ниже 40 К). Установлено также, что при гелиевых температурах отрицательное магнитосопротивление насыщается в полях около 10 Тл, тогда как поля насыщения аномального эффекта Холла составляют примерно 2 Тл. При $T \approx 4$ К сопротивление в поле 10 Тл уменьшается более чем в 10 раз. Результаты объясняются мезоскопически неоднородным распределением акцепторных примесей марганца, локальным ферромагнитным переходом и переключением характером проводимости пленок в условиях близости системы к переходу диэлектрик–металл. Оценены характерные масштабы магнитоэлектрических неоднородностей из анализа мезоскопических флуктуаций недиагональной компоненты тензора магнитосопротивления.

PACS: 75.50.Pp, 73.50.Jt, 73.61.Ey, 75.70.Ak

1. ВВЕДЕНИЕ

Интерес к исследованиям разбавленных магнитных полупроводников (РМП) типа III–Mn–V, как известно, резко возрос после обнаружения в них ферромагнетизма на примере пленок $\text{In}_{1-x}\text{Mn}_x\text{As}$ с температурой Кюри $T_C \approx 7.5$ К [1, 2]. Эти магнитные

полупроводники могут быть легко реализованы в виде гетероэпитаксиальных композиций на подложках монокристаллических материалов типа GaAs, что открывает перспективы создания новых устройств спинтроники [2, 3].

Спустя 10 лет после обнаружения ферромагнетизма в $\text{In}_{1-x}\text{Mn}_x\text{As}$ сообщалось, что температуру Кюри в этом материале удалось довести до 50 К [4], а недавно — до 90 К [5]. Тем не менее эта темпе-

*E-mail: vvrtylkov@mail.ru

**M. Goiran, J. Galibert, B. Raquet, J. Léotin

ратура все еще меньше, чем в случае $\text{Ga}_{1-x}\text{Mn}_x\text{As}$ ($T_C = 159$ К [6]). Однако интерес к исследованиям $\text{In}_{1-x}\text{Mn}_x\text{As}$ не сводится только к стремлению увеличить T_C . В частности, именно на примере данного материала была обнаружена возможность управления ферромагнитным упорядочением с помощью эффекта поля [7] или подсветки, возбуждающей неравновесные носители [8]. С другой стороны, данный материал обладает необычными характеристиками беспорядка и структурными особенностями, существенно определяющими его магнитные свойства. Так, например, кристаллические пленки $\text{In}_{1-x}\text{Mn}_x\text{As}$, приготовленные с использованием низкотемпературной молекулярно-лучевой эпитаксии, в зависимости от температуры роста и типа подложки могут обладать как n -типов проводимости и быть при этом парамагнитными, так и p -типов проводимости, демонстрируя аномальный эффект Холла (АЭХ) и другие свойства, присущие ферромагнетикам [2]. Легирование $\text{In}_{1-x}\text{Mn}_x\text{As}$ атомами галлия приводит к существенному увеличению температуры Кюри (до 110 К) при концентрациях дырок на порядок меньших, чем в случае $\text{Ga}_{1-x}\text{Mn}_x\text{As}$, что объясняется эффектами ближнего порядка в расположении атомов марганца и формированием димеров [9]. Подобного рода структурные образования могут быть ответственными также за наблюдение остаточной намагниченности при температурах до 333 К в пленках $\text{In}_{1-x}\text{Mn}_x\text{As}$, полученных методом металлоорганической фазовой эпитаксии, в отсутствие ферромагнитных кластеров MnAs [10]. В полученных таким способом слоях концентрация дырок, однако, относительно невелика (в 10^3 раз меньше, чем концентрация марганца), и магнетизм в транспортных свойствах этих структур проявляется слабо [11].

Следует отметить, что ферромагнетизм пленочных РМП, особенно при больших содержаниях магнитной примеси (10 ат.% и выше), зависит не только от условий приготовления (температуры и типа подложки), но и от метода получения пленок. Не случайно в последнее время все чаще используются менее традиционные (в сравнении с низкотемпературной молекулярно-лучевой эпитаксией) методы получения РМП, такие, например, как ионная имплантация или магнетронное распыление [12], которые позволяют достичь значений T_C вплоть до комнатной температуры.

Недавно нами было показано, что пленки с достаточно высоким содержанием марганца (около 10 ат.%) в III-V-полупроводниках могут быть также успешно получены методом осаждения из лазер-

ной плазмы в вакууме [13, 14]. При этом в пленках $\text{Ga}_{1-x}\text{Mn}_x\text{Sb}$, полученных данным методом, наблюдался АЭХ, гистерезисный характер которого проявлялся при комнатной температуре, причем тем сильнее, чем выше концентрация дырок [13]. Между тем слои $\text{In}_{1-x}\text{Mn}_x\text{As}$, полученные таким образом, обладали n -типов проводимости и являлись парамагнитными. Установлено, однако, что отжиг пленок с помощью импульсов рубинового лазера приводит к инверсии типа проводимости. При этом в пленках p -типа при азотных температурах наблюдается АЭХ, свидетельствующий о ферромагнитном упорядочении материала [14].

В данной работе представлены результаты исследования магнитотранспортных свойств слоев $p\text{-In}_{1-x}\text{Mn}_x\text{As}$, полученных методом осаждения из лазерной плазмы, в магнитных полях до 30 Тл. Показано, что пленки проявляют ферромагнетизм в транспортных свойствах (остаточное холловское сопротивление) вплоть до $T \approx 90$ К, хотя полевая зависимость АЭХ при этих температурах соответствует парамагнитному поведению. Обнаружено, что сопротивление в парамагнитной области температур в сильных полях оказывается выше, чем при температурах ниже эффективной температуры Кюри $T_C^* \approx 40$ К. Обнаружено также гигантское отрицательное магнитосопротивление (ОМС) — при $T \approx 4$ К сопротивление уменьшается в 10 раз. При этом ОМС насыщается в полях около 10 Тл, тогда как поля насыщения АЭХ составляют около 2 Тл. Предложена качественная модель для объяснения обнаруженных особенностей, основанная на представлениях о разбиении образца на изолированные области мезоскопического масштаба с повышенным содержанием дырок, о локальном ферромагнитном переходе и переколяционном характере проводимости пленок в условиях их близости к переходу диэлектрик–металл.

2. РЕЗУЛЬТАТЫ

Слои $\text{In}_{1-x}\text{Mn}_x\text{As}$ с содержанием марганца $x \approx 10$ ат.% и толщиной около 200 нм были получены на полуизолирующих подложках GaAs по технологии, описанной в работах [13, 14], и представляли собой кристаллические пленки мозаичного типа. Температура роста пленок составляла 450°C , при этом малоугловая разориентация межблочных границ не превышала 0.4° .

Тестовые измерения магнитополевых зависимостей эффекта Холла были выполнены в диапазоне

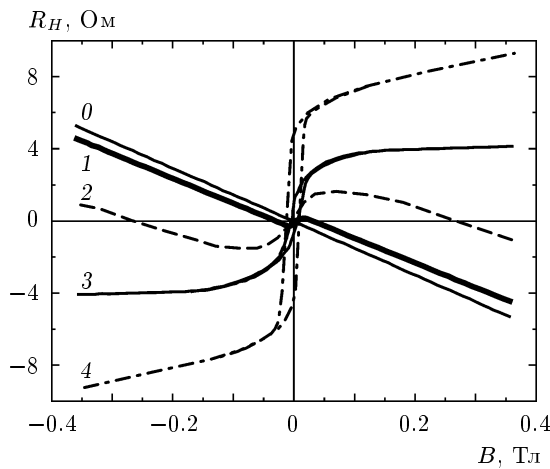


Рис. 1. Магнитополевые зависимости холловского сопротивления для слоя InMnAs, отожженного различным количеством лазерных импульсов: 0 — исходный (неотожженный) слой; 1 — отжиг одним импульсом; 2 — двумя импульсами; 3 — четырьмя импульсами; 4 — восемью импульсами. Температура измерений $T = 77$ К

температур от 300 до 77 К в магнитных полях B до 0.4 Тл. В исходных образцах полевая зависимость холловского сопротивления R_H линейна и соответствует n -типу проводимости с концентрацией электронов примерно $2 \cdot 10^{18}$ см $^{-3}$ (рис. 1, кривая 0). Однако после отжига образца импульсами (длительностью 25 нс) излучения рубинового лазера с плотностью мощности $W \approx 10^6$ Вт/см 2 эта зависимость существенно изменяется при $T = 77$ К. Как видно из рис. 1, действие одного импульса приводит к появлению небольшого по величине участка с аномальным поведением $R_H(B)$. При этом знак аномальной компоненты противоположен знаку нормального эффекта Холла. С увеличением числа воздействующих импульсов излучения величина аномального эффекта Холла возрастает, а нормальная компонента эффекта изменяет знак, что свидетельствует о переходе от электронного к дырочному типу проводимости. При этом магнитополевая зависимость АЭХ приобретает гистерезисный характер. Отметим, что в образцах, отожженных восемью импульсами (кривая 4), достигается состояние «насыщения», в котором зависимость $R_H(B)$ остается практически без изменений при дальнейшем воздействии лазерных импульсов.

Ниже представлены данные по исследованию в сильных магнитных полях транспортных свойств отожженных слоев In $_{1-x}$ Mn $_x$ As, в которых наблюда-

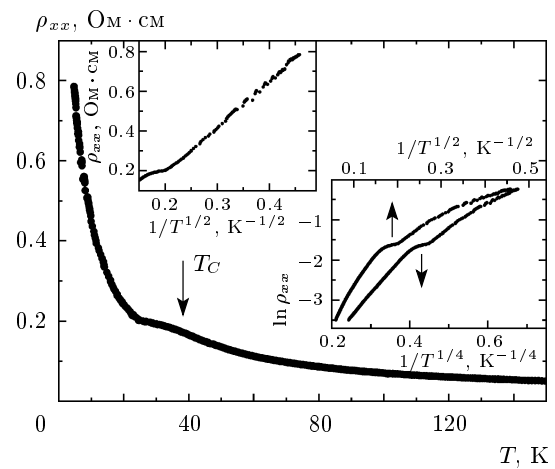


Рис. 2. Температурная зависимость удельного сопротивления пленки InMnAs. На нижней вставке показана та же самая зависимость в других координатах. Верхняя вставка демонстрирует степенной характер зависимости $\rho_{xx}(T)$ при температурах ниже T_C ($\rho_{xx} \propto 1/T^{1/2}$)

лась зависимость $R_H(B)$, соответствующая кривой 4 на рис. 1. Заметим, что в данных слоях, в отличие от пленок Ga $_{1-x}$ Mn $_x$ Sb, In $_{1-x}$ Mn $_x$ Sb и Ga $_{1-x}$ Mn $_x$ As, при комнатных температурах не наблюдается ни магнитооптический эффект Керра, ни ферромагнитный резонанс [14, 15], что указывает на отсутствие ферромагнитных включений MnAs.

Эффект Холла и магнитосопротивление исследовались на образцах, выполненных в геометрии двойного холловского креста с шириной и длиной проводящего канала соответственно 2.5 и 9 мм. Измерения проводились в диапазоне температур 4–100 К в импульсном магнитном поле величиной до 30 Тл, длительностью 0.8 с и временем нарастания 0.08 с. Магнитотранспортные характеристики анализировались в области уменьшения магнитного поля при различных его полярностях.

На рис. 2 приведена температурная зависимость удельного сопротивления ρ_{xx} образца, для которого из измерений в полях $B \leq 1$ Тл при $T = 300$ К были определены величина $\rho_{xx} \approx 3 \cdot 10^{-2}$ Ом · см и концентрация дырок $p \approx 2.6 \cdot 10^{19}$ см $^{-3}$. Зависимость $\rho_{xx}(T)$ подобна наблюданной в ферромагнитных пленках Ga $_{1-x}$ Mn $_x$ As [2, 3, 16–18] с диэлектрическим характером проводимости ($\rho_{xx} \geq 2 \cdot 10^{-2}$ Ом · см [16–18]). В этом случае при приближении к ферромагнитному переходу сопротивление достаточно сильно возрастает с уменьшением температуры, а ниже T_C на зависимости $\rho_{xx}(T)$ наблюдается область локаль-

ного максимума, сменяющаяся вновь ростом сопротивления. Наличие подобного локального максимума в зависимости $\rho_{xx}(T)$ часто используется для оценки температуры Кюри [3, 17]. В нашем случае такая оценка дает значение температуры Кюри $T_C \approx 40$ К (рис. 2). Однако наблюдение при температурах $T = 77$ К ферромагнитного по характеру АЭХ (см. рис. 1) указывает на то, что найденное по зависимости $\rho_{xx}(T)$ значение $T_C = T_C^* \approx 40$ К является эффективным параметром, не отражающим в данном случае перехода в ферромагнитное состояние образца в целом.

Рост сопротивления в диэлектрических образцах при температурах ниже T_C обычно объясняется эффектами беспорядка и усилением локализации носителей в условиях ферромагнитного перехода, сопровождаемого переходом к прыжковому транспорту носителей [16–18]. При этом зависимость $\rho_{xx}(T)$ в этой области температур обычно хорошо описывается законом $\ln \rho_{xx} \propto (T_0/T)^v$ с $v = 1/4$ [17, 18] и реже — с $v = 1/2$ [19], отвечающим механизму проводимости с переменной длиной прыжка соответственно в отсутствие и при наличии кулоновской щели [20]. В нашем случае зависимость $\rho_{xx}(T)$ лучше описывается законом $\ln \rho_{xx} \propto (T_0/T)^v$ с $v = 1/4$ (см. нижнюю вставку на рис. 2), хотя и при этом значении v наблюдаются отклонения от данного закона. Ниже T_C^* (при $T \leq 20$ К) кривая $\rho_{xx}(T)$ лучше всего описывается степенной зависимостью вида $\rho_{xx} \propto (1/T)^n$ с $n \approx 1/2$ (см. верхнюю вставку на рис. 2).

На рис. 3 представлены магнитополевые зависимости холловского сопротивления R_H при температурах ниже ($T \leq T_C^* \approx 40$ К, кривые 1 и 2) и выше ($T = 88$ К, кривая 3) эффективной температуры Кюри. Форма зависимости $R_H(B)$ подобна наблюдавшейся в $\text{Ga}_{1-x}\text{Mn}_x\text{As}$ в условиях существенно го преобладания аномальной компоненты эффекта Холла над нормальной [2, 16]. Кривая 3 в целом соответствует парамагнитному поведению АЭХ, хотя обращает на себя внимание небольшое остаточное холловское сопротивление $R_H(0) \approx 1.6$ Ом, что возможно только при наличии ферромагнитной фазы в образце. Удивительно, однако, что величина АЭХ (R_H) в парамагнитной области температур в полях $B \geq 20$ Тл (кривая 3) начинает явно превышать свое значение в условиях насыщения АЭХ (R_{as}) в ферромагнитной области при $T \leq T_C^* \approx 40$ К.

В однофазных РМП типа III–Mn–V холловское сопротивление R_H подчиняется соотношению [3]

$$R_H d = \rho_{xy} = R_0 B + R_s M, \quad (1)$$

где d — толщина слоя РМП, R_0 — константа нор-

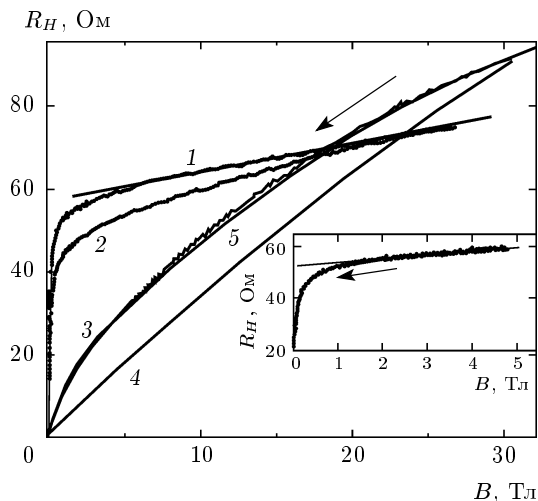


Рис. 3. Зависимости холловского сопротивления R_H от магнитного поля в InMnAs при различных температурах: 1 — $T = 25$ К; 2 — $T = 40$ К; 3 — $T = 88$ К. Тонкими линиями показаны расчетные зависимости $R_H(B)$ при $T = 88$ К, полученные с использованием функций Бриллюэна (кривая 4; см. текст) и Ланжевена (кривая 5). На вставке — зависимость $R_H(B)$ при $T = 25$ К в увеличенном масштабе. Стрелками показано направление сканирования по магнитному полю

мального эффекта Холла, обусловленного силой Лоренца, пропорциональной магнитной индукции B , а R_s — константа аномального эффекта Холла, пропорциональной намагниченности M и определяемой влиянием спин-орбитального взаимодействия на перенос носителей тока. Константа $R_s \propto \rho_{xx}^\alpha$, где показатель степени $\alpha = 1$ в случае «косого» рассеяния (skew scattering) механизма АЭХ и $\alpha = 2$ для собственного механизма (intrinsic) и механизма «боковых» прыжков (side jump scattering) [3]. В нашем случае вклад АЭХ является доминирующим (см. рис. 3) и, следовательно, $R_H \approx (R_s/d)M$. Поэтому превышение R_H при $T = 88$ К своего значения при $T \leq T_C^* \leq 40$ К выглядит так, как будто намагниченность насыщения M_s в парамагнитной области температур больше, чем величина M_s в ферромагнитном состоянии. Заметим, что подобное поведение невозможно объяснить с позиций известных механизмов АЭХ [3], поскольку ρ_{xx} растет с уменьшением температуры и при $T \approx 40$ К почти в три раза выше, чем при $T = 88$ К.

Другая особенность в поведении зависимостей $R_H(B)$ заключается в том, что их наклон в сильных полях ($B \geq 15$ Тл), определяемый R_0 , при $T \leq T_C^* \approx 40$ К заметно уменьшается. При этом кон-

центрация дырок, найденная из величины R_0 при $T = 25$ К, составляет $p \approx 4.8 \cdot 10^{19}$ см⁻³, что почти в два раза превышает значение $p \approx 2.6 \cdot 10^{19}$ см⁻³, найденное при комнатной температуре. Величина $p \approx 4.8 \cdot 10^{19}$ см⁻³ соответствует достаточно сильно выраженному вырождению InAs: энергии Ферми $E_F \approx 120$ мэВ. При этом, однако, произведение квазимпульса Ферми на длину свободного пробега дырок мало: $k_F l_p < 0.1$ (значение l_p найдено из величины подвижности дырок $\mu_p = R_0/\rho_{xx}$). Малая величина $k_F l_p \ll 1$ указывает на достаточно сильные эффекты локализации носителей, в условиях которых невозможно интерпретировать эффект Холла классическим образом.

Наконец отметим, что в окрестности и ниже T_C^* остаточное сопротивление АЭХ резко возрастает и при $T = 25$ К (см. вставку на рис. 3) достигает величины 20 Ом, т. е. около 40 % от сопротивления насыщения аномального эффекта Холла R_{as} , что свидетельствует о высокой остаточной намагниченности образца и наличии ферромагнитной фазы.

Как известно, в случае $\text{Ga}_{1-x}\text{Mn}_x\text{As}$ и $\text{In}_{1-x}\text{Mn}_x\text{As}$, приготовленных методом низкотемпературной молекулярно-лучевой эпитаксии, при приближении к ферромагнитному переходу начинает наблюдаться ОМС, обусловленное магнитным беспорядком и спин-зависящими эффектами в рассеянии носителей [3]. Величина ОМС возрастает в непосредственной окрестности ферромагнитного перехода и наиболее сильно проявляется в диэлектрических образцах вблизи перехода диэлектрик–металл, достигая гигантской величины [1, 2, 17, 21]. Однако адекватное описание столь большого ОМС до сих пор отсутствует. Отметим также, что в образцах с гигантским ОМС наблюдается существенный парамагнитный вклад в намагниченность, достигающий 60 % от намагниченности насыщения при температурах на порядок меньших T_C [21]. Однако АЭХ и его корреляция с поведением ОМС в работах [17, 21] не исследовались.

Данные по магнитополевой зависимости сопротивления исследуемых образцов при различных температурах приведены на рис. 4. Видно, что ОМС проявляется в парамагнитной области и, как и в случае $\text{Ga}_{1-x}\text{Mn}_x\text{As}$, заметно возрастает в области ферромагнитного перехода. В наших условиях, однако, отсутствует даже тенденция выхода сопротивления на насыщение в полях $B \approx 30$ Тл, хотя АЭХ, определяемый намагниченностью, достигает насыщения уже при $B \approx 2$ Тл (см. вставку на рис. 3). Отрицательное магнитосопротивление насыщается лишь при $T = 4.2$ К и $B \approx 10$ Тл (см. рис. 4б), причем

сопротивление в этих условиях уменьшается более чем в 10 раз.

Таким образом, обращают на себя внимание следующие необычные результаты, которые нуждаются в объяснении: локальный максимум в температурной зависимости сопротивления, который свидетельствует о ферромагнитном переходе; заметное превышение сопротивления в условиях АЭХ в парамагнитной области температур по сравнению с величиной его насыщения R_{as} в ферромагнитном состоянии; большое ОМС ниже T_C^* , которое не насыщается в полях до 30 Тл, хотя поля насыщения АЭХ составляют несколько тесла.

3. ОБСУЖДЕНИЕ

Прежде всего отметим, что полученные результаты невозможно объяснить с позиции однородно легированного магнитного полупроводника. Дополнительно это подтверждается и анализом намагниченности. Действительно, в парамагнитном состоянии полевое поведение намагниченности (и, соответственно, АЭХ) в однородном полупроводнике должно хорошо описываться модифицированной функцией Бриллюэна [21, 22]:

$$M = M_s B_s \frac{S g \mu_B H}{k_B(T + T_{AF})}, \quad (2)$$

где $S = 5/2$ — спин марганца, $g = 2$ — фактор Ланда. Параметр T_{AF} учитывает антиферромагнитный по характеру суперобмен между атомами марганца. Однако в нашем случае заметная разница в полевом поведении функции Бриллюэна и АЭХ в парамагнитной области температур ($T = 88$ К) очевидна (ср. кривые 3 и 4 на рис. 3). В наших условиях полевая зависимость холловского сопротивления описывается функцией Ланжевена

$$L(y) = \operatorname{cth} y - 1/y,$$

где $y = N \mu_B H / kT$, μ_B — магнетон Бора, $N \mu_B$ — магнитный момент включений. Сплошной кривой 5 на рис. 3 представлен результат такой подгонки с использованием двух типов включений с $N = 10$ и $N = 250$, вес которых соответственно 0.9 и 0.1. Это свидетельствует о суперпарамагнитном характере поведения АЭХ, обусловленном существованием ферромагнитных включений малых размеров даже при $T \approx 2T_C^*$. Хорошее согласие между экспериментальной (кривая 3) и расчетной (кривая 5) зависимостями $R_H(B)$ указывает на существенную роль в наших образцах эффектов ближнего по-

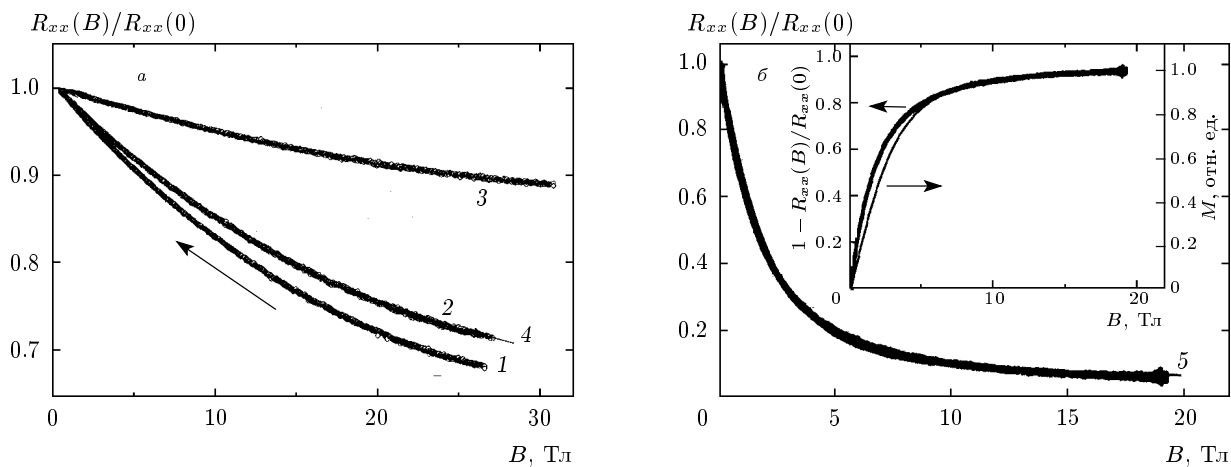


Рис. 4. Нормированные магнитополевые зависимости магнитосопротивления InMnAs, полученные при различных температурах: *а* — $T = 25$ К (1), 40 К (2), 88 К (3), стрелка указывает направление сканирования по магнитному полю; *б* — $T = 4.2$ К. Тонкие линии — расчет кривых магнитосопротивления при $T = 40$ (кривая 4) и 4.2 К (кривая 5) с использованием модифицированной функции Бриллюэна для намагниченности M и выражения $R_{xx}(B)/R_{xx}(0) = \exp(-M/M_0)$. Вставка демонстрирует корреляцию между поведением магнитосопротивления и намагниченности, описываемой функцией Бриллюэна

рядка в расположении атомов марганца, приводящих к формированию магнитных кластеров типа молекулярных [23]. С подобного рода образованиями связывались и аномалии в ферромагнетизме слоев $(In_yGa_{1-y})_{1-x}Mn_xAs$ и $In_{1-x}Mn_xAs$, обнаруженные в работах [9, 10].

С другой стороны, мы попытались выявить корреляцию между поведением магнитосопротивления и намагниченности с помощью выражения (2), полагая, что $\Delta\rho_{xx}/\rho_{xx} \propto f(M)$, где $f(M)$ — монотонная функция намагниченности (приближительный вид функции $f(M)$ определим ниже). Оказалось, что такая корреляция явно имеет место вплоть до $T = 4.2$ К (см. вставку на рис. 4б).

Таким образом, получается, что, как и в случае пленок $Ga_{1-x}Mn_xAs$ [21], в наших образцах при температурах, заметно меньших температуры Кюри, наряду с ферромагнитной присутствует и парамагнитная фаза. Причины этого, на наш взгляд, заключаются в следующем. Во-первых, пленки $In_{1-x}Mn_xAs$, полученные на подложках GaAs, обладают большим количеством донорных дефектов (из-за рассогласования решеток InAs и GaAs), что может обусловливать их *n*-тип проводимости [2]. Во-вторых, при большом содержании марганца ($x \geq 0.1$) и высоких температурах роста (450°C , как и в работах [10, 11]) эффекты ближнего порядка в расположении атомов марганца, приводящие к формированию димеров,

существенно подавляют его электрическую активность акцепторного типа [4, 9–11]. Поэтому не удивительно, что пленки, полученные методом осаждения из лазерной плазмы при 450°C , обладали *n*-типов проводимости. Импульсный лазерный отжиг приводит к существенной активации примесей марганца (увеличению концентрации дырок) в случае слоев не только $In_{1-x}Mn_xAs$, но и $Ga_{1-x}Mn_xAs$ и $Ga_{1-x}Mn_xSb$ [14, 15]. Вследствие случайно-неоднородного распределения примесей марганца возникают области с повышенной (носители заряда вырождены) и с пониженной (сильнокомпенсированные области) концентрацией дырок. Области с пониженной концентрацией дырок, несмотря на большое содержание в них марганца, могут оставаться при низких температурах парамагнитными, поскольку ферромагнетизм материалов III–Mn–V индуцирован свободными дырками [3]¹⁾.

Рисунок 5а иллюстрирует разбиение объема образца на области с высокой и низкой (парамагнитные) концентрацией дырок, а также изгиб потолка валентной зоны и формирование вырожденных дырочных капель. С понижением температуры в

¹⁾ В пленках $Ga_{1-x}Mn_xAs$ обедненные дырками области при содержании марганца более 5 ат.% возникают вследствие его преимущественного вхождения в межузельные положения кристаллической решетки, где они выступают в качестве двойных доноров [3, 6].

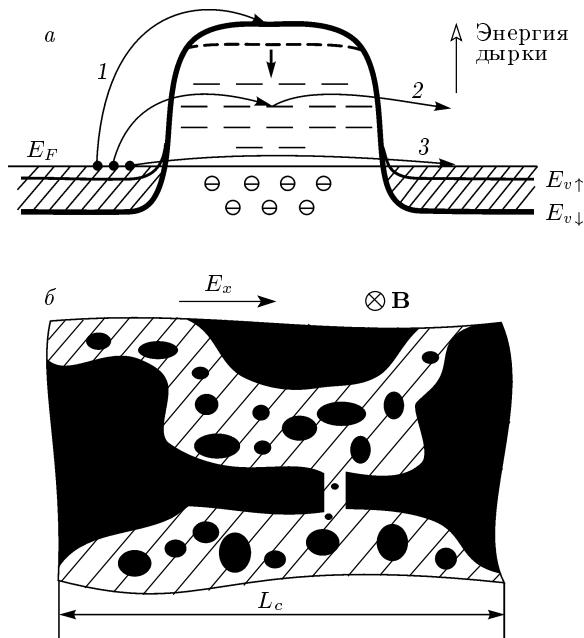


Рис. 5. а) Схематическое представление дырочного транспорта в InMnAs между вырожденными ферромагнитными областями (заштрихованные области), разделенными компенсированными парамагнитными прослойками. Стрелка 1 изображает надбарьерный транспорт дырок, стрелки 2, 3 — прыжковый перенос дырок между вырожденными областями соответственно с участием промежуточных состояний и путем прямого туннелирования. Знаки «—» и « \ominus » — свободные и заполненные дырочные состояния; $E_{v\uparrow}$ и $E_{v\downarrow}$ — положение краев спиновых подзон дырок со спином вверх и вниз в отсутствие магнитного поля. Штриховая линия изображает изгиб края валентной зоны в парамагнитной прослойке для подзоны со спином вниз в магнитном поле. б) Характерный фрагмент среды размером порядка радиуса корреляции L_c переколяционного кластера. Черным обозначены вырожденные области InMnAs с металлической проводимостью; заштрихована диэлектрическая компонента среды, содержащая мелкомасштабные дырочные капли

областях с достаточно высокой концентрацией дырок происходит локальный ферромагнитный переход внутри капель, что приводит к расщеплению спиновых подзон дырок. Таким образом, образец можно рассматривать как двухкомпонентную среду, состоящую из ферромагнитных металлических образований в диэлектрической парамагнитной матрице, напоминающую системы с гигантским ОМС в условиях их фазового расслоения (см. работу [24] и ссылки там), или как металл-диэлектрический на-

нокомпозит [25]. В отличие, однако, от нанокомпозитов в нашем случае энергия для перехода дырки из одной капли в другую (зарядовая энергия ε_c) ограничена сверху относительно невысокими барьераами, разделяющими ферромагнитные области, что может приводить к иному механизму ОМС, существенно более сильному, чем в нанокомпозитах (см. ниже).

Температурная зависимость сопротивления полученных объектов объясняется транспортом дырок по металлическим каплям, разделенным диэлектрическими промежутками (рис. 5б). При высоких температурах дырки преодолевают эти промежутки активационным образом, а при $T < T_C^*$ происходит переход к их тунNELльному транспорту (см. рис. 5а), как и в работах [17–19]. Вероятно, этот переход обусловлен уменьшением размеров диэлектрических прослоек и/или увеличением барьеров на путях протекания дырок в условиях локального ферромагнитного перехода, усиливающего их локализацию. Далее учтем, что хотя исследуемая система обладает диэлектрическим характером проводимости, она близка к переходу металл-диэлектрик (при уменьшении температуры от 300 до 4 К сопротивление возрастает в 30 раз).

В рамках сделанного предположения, отмеченные выше особенности транспортных свойств слоев $In_{1-x}Mn_xAs$ можно объяснить, используя представления о переколяционной проводимости и эффекте Холла двухкомпонентных систем типа металл-плохой проводник (см. работу [26] и ссылки там). В нашем случае металл — это вырожденные дырочные пятна, а плохой проводник («диэлектрик») — парамагнитные области между ними компенсированного $In_{1-x}Mn_xAs$, содержащие изолированные атомы марганца. При критическом содержании x_{mc} доли металлической фазы в такой системе происходит переколяционный переход, который характеризуется шириной $\Delta = |x_m - x_{mc}| = (\sigma_d / \sigma_m)^m$, где σ_d и σ_m — проводимости диэлектрической и металлической компонент среды, а $m \approx 0.385$ и $m \approx 0.388$ соответственно для двумерного и трехмерного случаев [26]. Важно, что в области перехода ($|x_m - x_{mc}| \leq \Delta$) эффективная проводимость среды $\sigma(x_m)$ определяется обеими компонентами [26]:

$$\sigma(x_m) \approx \sigma_m^{1-s} \sigma_d^s, \quad (3)$$

где $s = 0.5$ и $s \approx 0.62$ соответственно для двумерного и трехмерного случаев. Поэтому в этих условиях роль вклада σ_m от металлических капель в проводимость системы важна. В частности, хорошо уста-

новлено, что температурная зависимость величины $\rho_m = 1/\sigma_m$ имеет максимум вблизи ферромагнитного перехода, что проявляется в нашем случае в виде перегиба на зависимости $\rho_{xx}(T)$ при $T = T_C^*$ (см. рис. 2). При более низких температурах в условиях туннельного транспорта дырок вклад в температурную зависимость проводимости могут давать квантовые поправки в σ_m , что обеспечивает степенной характер зависимости $\rho_{xx}(T) \propto T^{-1/2}$ (см. рис. 2). В частности, подобная зависимость наблюдалась в нанокомпозитах в непосредственной близости к переходу диэлектрик–металл [27]. С другой стороны, в диэлектрических нанокомпозитах в условиях, когда зарядовая энергия достаточно мала ($\epsilon_c \leq kT$) и нарушается больцмановская статистика, сопротивление описывается степенным законом $\rho_d = 1/\sigma_d \propto T^{-1}$ [28, 29], что согласно выражению (3) также может приводить к зависимости типа $\rho_{xx}(T) \propto T^{-1/2}$.

Далее мы покажем, что размер дырочных капель велик (около 1 мкм) и заметно превышает толщину пленки, что обусловливает двумерный характер данной двухкомпонентной переколяционной системы. В этой ситуации естественно ожидать заметного вклада дырочных капель в зависимость $\rho_{xx}(T)$. Однако немонотонное температурное поведение АЭХ (см. рис. 3) и обнаруженные особенности ОМС (см. рис. 4) в существенной степени определяются присутствием парамагнитной (диэлектрической) компоненты среды.

Действительно, коэффициент Холла двумерной двухкомпонентной системы описывается соотношением [26]

$$R(x_m) = \frac{\mu_m - \mu_d}{\sigma_m - \sigma_d} + \frac{\sigma_m \mu_d - \sigma_d \mu_m}{\sigma_m^2 - \sigma_d^2} \times \left[1 + \frac{\sigma_d \sigma_m}{\sigma^2(x_m)} \right], \quad (4)$$

где σ — эффективная поверхностная проводимость среды, а μ_m и μ_d — холловские подвижности соответственно в металлических пятнах и в диэлектрических областях среды. При выполнении условий $\sigma_m \gg \sigma_d$ и $\sigma_m \mu_m \gg \sigma_d \mu_d$ выражение (4) можно упростить. При этом для холловского сопротивления среды получим

$$R_H(x_m) \approx R_{Hm} \left[1 + \frac{\rho_m}{\rho_d} \left(\frac{R_{Hd}}{R_{Hm}} - 1 \right) A \right]. \quad (5)$$

Здесь R_{Hm} и R_{Hd} — холловские сопротивления соответственно металлической и диэлектрической компонент среды, $A = \sigma_d \sigma_m / \sigma^2(x_m)$ — величина по-

рядка единицы в области переколяционного перехода (на диэлектрической стороне $A \geq 1$). Из выражения (5) следует, что измеряемое в окрестности перехода холловское сопротивление в значительной степени определяется металлической компонентой среды. Тем не менее вклад диэлектрической компоненты в эффект Холла может играть заметную роль, а его немонотонное изменение с уменьшением температуры может приводить к усилению эффекта Холла в парамагнитной области в сравнении с его величиной в ферромагнитном состоянии. Это следует из рассмотрения возможных каналов переноса носителей в диэлектрических областях (см. рис. 5a). В области высоких температур должен доминировать перенос дырок между металлическими каплями (обозначен стрелкой 1), обусловленный их термическим забросом на край подвижности валентной зоны E_v диэлектрических областей. При этом при $4kT \geq E_v - E_F$ холловское сопротивление диэлектрической компоненты R_{Hd} оказывается примерно равным R_{Hm} , а измеряемое холловское сопротивление среды $R_H \approx R_{Hm}$, см. (5). С уменьшением температуры величина R_{Hd} будет расти в силу уменьшения концентрации дырок в валентной зоне и увеличения сопротивления парамагнитных областей. При этом, однако, должна усиливаться роль прыжкового транспорта дырок между металлическими областями (с участием промежуточных состояний и путем прямого туннелирования дырок между ними; см. рис. 5a), который дает чрезвычайно малый вклад в эффект Холла [30]. На примере исследований легированных полупроводников (см. книгу [20]) известно, что коэффициент Холла с понижением температуры достигает максимума в условиях, когда прыжковая проводимость сравнивается с проводимостью носителей по свободной зоне и затем экспоненциально падает. В нашем случае в области промежуточных температур T_i при $R_{Hd} \gg R_{Hm}$ измеряемое холловское сопротивление, согласно формуле (5), равно

$$R_H(T_i) \approx R_{Hm}(T_i) \left[1 + \frac{\rho_m(T_i) R_{Hd}(T_i)}{\rho_d(T_i) R_{Hm}(T_i)} A \right], \quad (6)$$

тогда как в области низких температур T_l при доминировании прыжкового транспорта в проводимости диэлектрической компоненты $\sigma_d(R_{Hd} \ll R_{Hm})$ —

$$R_H(T_l) \approx R_{Hm}(T_l) \left[1 - \frac{\rho_m(T_l)}{\rho_d(T_l)} A \right] \approx R_{Hm}(T_l). \quad (7)$$

Из выражений (6) и (7) видно, что вклад диэлектрической компоненты может привести к максимуму в зависимости $R_H(T)$ и, следовательно, к

усилению АЭХ в парамагнитной области температур по сравнению с его величиной в ферромагнитной области, где транспорт носителей носит прыжковый характер. В частности, в поле 30 Тл в парамагнитной области при $T = 88$ К намагниченность изолированных атомов марганца, согласно (2), составляет примерно $0.5M_s$. При этом для холловского сопротивления металлической компоненты имеем $R_{Hm}(88 \text{ K}) \approx 0.5R_{Hm}(25 \text{ K})$. Поэтому если при $T = 88$ К $A\rho_m R_{Hd}/\rho_d R_{Hm} \geq 1$ в выражении (6), то холловское сопротивление пленки $R_H(88 \text{ K}) \geq R_H(25 \text{ K})$. Заметим, что фактор превышения АЭХ зависит от его механизма и наиболее велик для собственного механизма и механизма боковых прыжков, для которых $R_H \propto \rho_{xx}^2$ [3], и, соответственно, $A\rho_m R_{Hd}/\rho_d R_{Hm} \propto \rho_d/\rho_m$.

Нормальная составляющая эффекта Холла в этой ситуации также ведет себя немонотонно, что может привести к завышенному значению концентрации дырок при низких температурах (см. (7)). Наиболее достоверными для оценки эффективной концентрации дырок в металлических мезоскопических областях представляются данные измерений эффекта Холла при $T = 300$ К, которые дают величину $p \approx 2.6 \cdot 10^{19} \text{ см}^{-3}$. При таких концентрациях в однородно-легированных пленках $\text{In}_x\text{Mn}_{1-x}\text{As}$ ($x \approx 0.1$) ферромагнитный переход происходит в интервале температур от 30 до 50 К согласно результатам работы [4], что совпадает с оценкой температуры Кюри $T_C^* \approx 40$ К, отражающей локальный характер перехода в нашем случае (см. рис. 2).

В рамках модели двухкомпонентной среды удается непротиворечивым образом описать и механизм ОМС, определяемый существованием в полученных пленках $\text{In}_x\text{Mn}_{1-x}\text{As}$ диэлектрической (парамагнитной) фазы. В подобной двухфазной ситуации [24] механизм ОМС связывался с выстраиванием магнитных моментов двумерных капель вдоль поля и уменьшением спин-зависящих эффектов в рассеянии носителей, что в условиях близости к переходу диэлектрик–металл приводило к гигантскому ОМС. В нашем случае возможен, однако, иной сценарий.

При температурах $T < T_C^* \approx 40$ К в исследуемых пленках наблюдается остаточное сопротивление в условиях АЭХ (см. рис. 3). Поэтому в намагниченном состоянии в нулевом поле магнитные моменты соседних металлических областей направлены одинаковым образом. При этом, в силу обменного взаимодействия, спиновые подзоны дырок подвержены расщеплению по энергии внутри данных областей. Однако в парамагнитных диэлектрических прослойках между ними такое расщепление отсутствует (см.

рис. 5a). Очевидно, что перенос основных носителей (на рис. 5a со спином вниз) в этих условиях будет контролироваться барьером между ферромагнитными и парамагнитными областями, высота которого в магнитном поле уменьшается вследствие эффекта Зеемана. Последний в парамагнитных полупроводниках II–Mn–VI и III–Mn–V определяется намагниченностью (а не полем, как в случае, например, $a\text{-GdSi}$ [31]) вследствие того, что эти полупроводники характеризуются сильным обменным p – d (s – d)-взаимодействием [32–34]. Следуя подходу работ [31] к описанию ОМС, определяемого только термическим забросом носителей на край подвижности, получим соотношение

$$R_{xx}(B) = R_{xx}(0) \exp \left[-\frac{M_p(B)}{M_0} \right], \quad (8)$$

где M_p — намагниченность парамагнитных областей, описываемая соотношением (2), а M_0 — константа размерности намагниченности. В нашем случае сопротивление парамагнитных областей при низких температурах определяется туннельными переходами (см. рис. 5a) и также экспоненциально зависит от высоты барьера:

$$R_t \propto \exp \left[\left(\frac{E_v - E_F}{E_0} \right)^\beta \right].$$

Здесь $\beta = 1/2$ и $\beta = 3/8$ соответственно для прямого туннелирования дырок между ферромагнитными областями и для переходов с участием промежуточных состояний (примесной зоны) в режиме переменной длины прыжка [20]. Полагая, что в этих условиях уменьшение высоты барьера в магнитном поле не велико ($\delta(E_v - E_F) \ll M_p \ll E_v - E_F$), получим соотношение, аналогичное (8), но с иной константой M_0 .

Выше на рис. 4 сплошными линиями показаны расчетные кривые магнитосопротивления, полученные с использованием соотношений (8) и (2) путем подгонки к экспериментальным зависимостям $R_{xx}(B)$ при $T = 4.2$ и $T = 40$ К. Видно, что расчетные кривые достаточно хорошо описывают экспериментальные зависимости. Найденные при этом значения параметра T_{AF} , отражающего антиферромагнитный суперобмен между атомами марганца, составляют соответственно 6 К и 5 К. Насколько нам известно, вклад антиферромагнитного обменного взаимодействия в полупроводниках III–Mn–V детально не исследовался, хотя его проявления явно наблюдались (см., например, работы [21]). В случае полупроводников II–Mn–VI данное взаимодействие

играет важную роль и достигает величин примерно 10 К [22].

В основе изложенной выше модели, позволяющей объяснить основные закономерности в поведении эффекта Холла и магнитосопротивления, лежат представления о переколяционном характере проводимости пленок и одновременно об их близости к переходу диэлектрик–металл. В этих условиях радиус корреляции L_c бесконечного кластера, характеризующий масштаб неоднородности среды [35], должен совпадать по порядку величины с размерами мезоскопических металлических областей (см. рис. 5б). Поэтому очевидно, что для обоснования сделанных выше предположений желательно оценить масштаб L_c . Такую оценку можно получить из исследований мезоскопических флуктуаций недиагональной компоненты тензора сопротивления R_{xy} , отражающих изменение топологии токовых путей протекания под действием внешних факторов (температуры, электрического и магнитного полей). Данная методика была апробирована нами на примере исследования как немагнитных [36], так и магнитных переколяционных систем [27, 37].

В нашем случае оценка характерных масштабов неоднородностей возможна из анализа магнитополевой зависимости электрической асимметрии потенциалов холловских зондов: $R_a = (R_{xy}^+ + R_{xy}^-)/2$, где R_{xy}^+ , R_{xy}^- — поперечные сопротивления, отвечающие положительному и отрицательному направлениям магнитного поля. Значение R_a изменяется не только в силу неточности совмещения зондов и магниторецистивного эффекта, но и вследствие перестройки переколяционного кластера [37] под действием магнитного поля.

На рис. 6 приведены нормированные магнитополевые зависимости сопротивления асимметрии R_a и продольного сопротивления R_{xx} , полученные при $T = 25, 40$ К. Видно, что до полей $B \approx 7$ Тл поведение $R_a(B)$ кардинально отличается от поведения $R_{xx}(B)$, что свидетельствует о существенно переколяционном характере проводимости исследуемых пленок. Наблюданное отклонение зависимости $R_a(B)$ от $R_{xx}(B)$ можно интерпретировать как эффективное смещение $\Delta l_a \sim L_c$ холловских зондов, которое по оценке, полученной согласно методике работы [37], достигает нескольких микрометров. Таким образом, предположение о большом размере металлических областей (превышающем толщину пленки) оказывается оправданным. Заметим, что зарядовая энергия областей такого размера составляет около 0.1 мэВ, что заметно меньше kT при гелиевых температурах, что, по-видимому, является основной

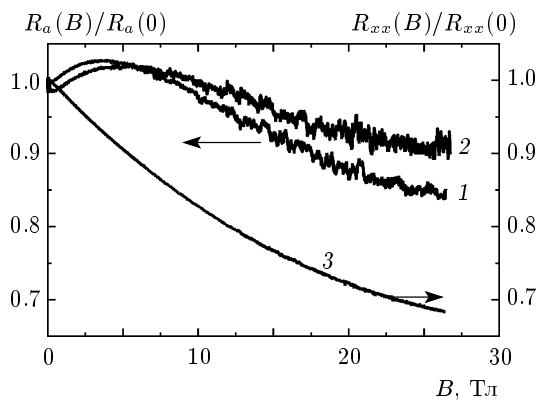


Рис. 6. Нормированные магнитополевые зависимости сопротивления асимметрии $R_a(B) = [R_{xy}(B) + R_{xy}(-B)]/2$ при $T = 25$ К (кривая 1) и $T = 40$ К (кривая 2). Для сравнения показана также в нормированном виде кривая магнитосопротивления $R_{xx}(B)$ при $T = 25$ К (кривая 3)

причиной неэкспоненциальной зависимости $\rho_{xx}(T)$ при низких температурах (см. рис. 2).

4. ЗАКЛЮЧЕНИЕ

Таким образом, на наш взгляд, своеобразие исследованных пленок $In_{1-x}Mn_xAs$ ($x \approx 0.1$) заключается, с одной стороны, в достаточно большом содержании в них донорных дефектов, а с другой — в неоднородном распределении активных (акцепторных) примесей марганца, возникающих после импульсного лазерного отжига. В результате этого в пленках имеются сильно вырожденные области мезоскопических размеров с повышенной концентрацией дырок, отделенные друг от друга узкими компенсированными прослойками. С понижением температуры вырожденные области оказываются ферромагнитными, тогда как компенсированные области остаются парамагнитными вплоть до гелиевых температур. В соответствии с моделью двухкомпонентных сред [26] эффект Холла в этом случае определяется в основном транспортом дырок внутри вырожденных областей. При этом, однако, сильный рост холловского сопротивления парамагнитных областей с понижением температуры (до тех пор пока в них доминирует перенос дырок по краю подвижности) может приводить к немонотонному поведению АЭХ и его усилению в парамагнитном состоянии в сильных полях по сравнению с величиной насыщения АЭХ ниже температуры Кюри. При переходе к прыжковому транспорту

дырок данный вклад подавляется и АЭХ практически целиком определяется ферромагнитными областями. Существованием парамагнитных областей объясняются особенности отрицательного магнитосопротивления, определяемого эффектом Зеемана и уменьшением потенциальных барьеров на путях переноса дырок между ферромагнитными металлическими образованиями в магнитном поле. Большой размер ферромагнитных образований подтвержден наблюдением мезоскопических флуктуаций недиагональной компоненты тензора магнитосопротивления, анализ которых позволил оценить радиус корреляции переколяционного кластера (масштаб магнитоэлектрических неоднородностей) в несколько микрометров.

Работа выполнена при поддержке Европейской программы EUROMAGNET, РФФИ (гранты №№ 07-02-00927, 08-02-00719) и Международного научно-технического центра (проект G-1335).

ЛИТЕРАТУРА

1. H. Ohno, H. Munekata, T. Penney et al., Phys. Rev. Lett. **68**, 2664 (1992).
2. H. Ohno, J. Magn. Magn. Mater. **200**, 110 (1999); H. Ohno and F. Matsukura, Sol. St. Comm. **117**, 179 (2001).
3. T. Jungwirth, Jairo Sinova, J. Mašek et al., Rev. Mod. Phys. **78**, 809 (2006).
4. T. Slupinski, A. Oiwa, S. Yanagi, and H. Munekata, J. Cryst. Growth **237–239**, 1326 (2002).
5. T. Schallenberg and H. Munekata, Appl. Phys. Lett. **89**, 042507 (2006).
6. K. W. Edmonds, P. Boguslavski, K. Y. Wang et al., Phys. Rev. Lett. **92**, 037201 (2004).
7. H. Ohno, D. Chiba, F. Matsukura et al., Nature **408**, 944 (2000).
8. S. Koshihara, A. Oiwa, M. Hirasawa et al., Phys. Rev. Lett. **78**, 4617 (1997).
9. T. Slupinski, H. Munekata, and A. Oiwa, Appl. Phys. Lett. **80**, 1592 (2002); T. Slupinski, H. Munekata, and A. Oiwa, J. Supercond. and Novel Magnetism **16**, 45 (2003).
10. A. J. Blattner and B. W. Wessels, Appl. Surf. Sci. **221**, 155 (2004); Y. L. Soo, S. Kim, Y. H. Kao et al., Appl. Phys. Lett. **84**, 481 (2004).
11. S. J. May, A. J. Blattner, and B. W. Wessels, Phys. Rev. B **70**, 073303 (2004).
12. P. R. Bandaru, J. Park, J. S. Lee et al., Appl. Phys. Lett. **89**, 112502 (2006); X. C. Liu, Z. H. Lu, Z. L. Lu et al., J. Appl. Phys. **100**, 073903 (2006).
13. В. В. Рыльков, Б. А. Аронзон, К. И. Маслаков и др., ЖЭТФ **127**, 838 (2005).
14. Yu. A. Danilov, E. S. Demidov, Yu. N. Drosdov et al., J. Magn. Magn. Mat. **300**, e24 (2006).
15. Yu. A. Danilov, V. P. Lesnikov, Yu. N. Nozdrin et al., J. Magn. Magn. Mat. **300**, e28 (2006).
16. F. Matsukura, H. Ohno, A. Shen, and Y. Sugawara, Phys. Rev. B **57**, 2037R (1998).
17. A. Van Esch, L. Van Bockstal, J. De Boeck et al., Phys. Rev. B **56**, 13103 (1997).
18. Sh. U. Yuldashev, H. C. Jeon, H. S. Im et al., Phys. Rev. B **70**, 193203 (2004).
19. Y. Satoh, D. Okazawa, A. Nagashima, and J. Yoshino, Physica E **10**, 196 (2001).
20. Б. И. Шкловский, А. Л. Эфрос, Электронные свойства легированных полупроводников, Наука, Москва (1979).
21. A. Oiwa, S. Katsumoto, A. Endo et al., Sol. St. Comm. **103**, 209 (1997); A. Oiwa, S. Katsumoto, A. Endo et al., Physica B **249–251**, 775 (1998).
22. T. Dietl, in *Handbook on Semiconductors*, Vol. 3b, ed. by T. S. Moss, North-Holland, Amsterdam (1994), p. 1251; J. K. Furdyna, J. Appl. Phys. **64**, R29 (1988).
23. Mark van Schilfgaarde and O. N. Mryasov, Phys. Rev. B **63**, 233205 (2001).
24. J. Jaroszynski, T. Andrearczyk, G. Karczewski et al., Phys. Rev. B **76**, 045322 (2007).
25. B. A. Aronzon, S. V. Kapelnitsky, and A. S. Lagutin, in *Physico-Chemical Phenomena in Thin Films and at Solid Surfaces*, Vol. 34, ed. by L. Trakhtenberg, S. S. Lin, and O. Illegbusi, Elsevier Sci. Publ., Amsterdam (2007), p. 581.
26. Б. И. Шкловский, ЖЭТФ **72**, 288 (1977); А. М. Дыхне, ЖЭТФ **59**, 641 (1970).
27. B. Raquet, M. Goiran, N. Negre et al., Phys. Rev. B **62**, 17144 (2000); A. Carl, G. Dumpich, and E. F. Wassermann, Phys. Rev. B **50**, 4802 (1994).
28. C. J. Adkins, in *Metal-Insulator Transitions Revisited*, ed. by P. P. Edwards and C. N. R. Rao, Taylor & Francis (1995), p. 191.

- 29.** Б. А. Аронзон, А. Е. Варфоломеев, Д. Ю. Ковалев и др., ФТТ **41**, 944 (1999).
- 30.** Т. Holstein, Phys. Rev. **124**, 1329 (1961); Ю. М. Гальперин, Е. П. Герман, В. Г. Карпов, ЖЭТФ **99**, 343 (1992).
- 31.** S. Caprara, V. V. Tugushev, and N. K. Chumakov, ЖЭТФ **128**, 351 (2005); S. Caprara, N. K. Chumakov, S. Gudenko, and V. Tugushev, Phys. Rev. B **74**, 104204 (2006).
- 32.** T. Wojtowicz, T. Dietl, M. Sawicki et al., Phys. Rev. Lett. **56**, 2419 (1986).
- 33.** D. Heiman, Y. Shapira, S. Foner et al., Phys. Rev. B **29**, 5634 (1984).
- 34.** G. D. Sanders, Y. Sun, F. V. Kyrychenko et al., Phys. Rev. B **68**, 165205 (2003).
- 35.** А. С. Скал, Б. И. Шкловский, А. Л. Эфрос, ФТТ **17**, 506 (1975).
- 36.** B. A. Aronzon, V. V. Rylkov, A. S. Vedeneev, and J. Leotin, Physica A **241**, 259 (1997); Б. А. Аронзон, Д. Ю. Ковалев, В. В. Рыльков, ФТП **39**, 844 (2005); Б. А. Аронзон, А. С. Веденеев, А. А. Панферров, В. В. Рыльков, ФТП **40**, 1082 (2006).
- 37.** В. В. Рыльков, Б. А. Аронзон, А. Б. Давыдов и др., ЖЭТФ **121**, 908 (2002).